

### III-14 石英砂と長石砂の高圧下におけるせん断特性の比較実験

山口大学工学部 正員 三浦哲彦  
同 正員 山本哲郎

#### 1. まえがき

砂は一般に、堅固な石英粒子とややせい弱い長石粒子とが混じっている。筆者らは、高圧下における砂のせん断特性に及ぼす粒子破碎の影響を検討しているが、本実験はその一環として、石英または長石のみからなる砂試料について、それらの高圧下における挙動を調べたものである。実験に用いた石英砂および長石砂は、それを原石をクラッシャーにて粉碎したのち粒度調整して得たものであり、表-1に示される6種類の試料を準備した。乾燥した各試料をタンパーで充填して、ほぼ同じ初期間げき比 ( $e_0 = 0.62$ ) の乾燥供試体を作製し、高圧三軸試験機を用いて拘束圧一定の排水せん断試験を行なった。供試体とペデスタルとの摩擦の影響を小さくするために、実験はすべて、潤滑性ペデスタルリを用いて行なった。

#### 2. せん断特性の比較

拘束圧  $\sigma_3 = 25 \sim 200 \text{ kg/cm}^2$  の範囲で三軸圧縮試験を行なったが、 $\sigma_3 = 100 \text{ kg/cm}^2$  の場合についてのみ応力ひずみ曲線を示すと図-1のようである。他の拘束圧条件の場合にも大体して認められる、石英砂と長石砂の応力へひずみ特性の違いは次のようである。石英砂は同じ粒度組成の長石砂に比べて、せん断強度は僅かに低く、破壊軸ひずみ(自然)は大きく、また、せん断中の体積収縮量は小さい。

次に、拘束圧の増加に伴う各試料の最大主応力比 ( $\sigma'_1/\sigma_3$ ) および破壊時のダイレイタンシーレイト ( $dV/d\epsilon_1$ )<sub>f</sub> の変化は、図-2に示されるようであった。これらのうち、石英砂Bと長石砂Bについて比較すると、拘束圧が低い範囲で石英砂の ( $\sigma'_1/\sigma_3$ )<sub>f</sub> は長石砂のそれより低くその差は  $\sigma_3$  の増加に伴って小さくなり、また、両試料の ( $dV/d\epsilon_1$ )<sub>f</sub> の相対的な大きさの関係は  $\sigma_3 = 40 \text{ kg/cm}^2$  付近で逆になる、ことが分かる。すなはち、ある拘束圧条件の下で、長石砂のダイレイタンシーエネルギーは石英砂のそれより小さいにも拘らず、そのせん断強度は石英砂のそれより大きい。このようなら2種の砂の変形・強度特性の違いには、せん断中の粒子破碎特性<sup>2)</sup>の差異のほかに、両者の粒子間摩擦角  $\phi_m$  (石英砂:  $26^\circ$ , 長石砂:  $37^\circ$ )<sup>3)</sup> の違いも関係していると思われる。

#### 3. 粒子破碎特性の比較

せん断中の粒子破碎量は試料の比表面積増加量  $\Delta S$  を表わすのが合理的である。筆者の1人は先に、豊浦砂およびシラスについて、せん断中の供試体に与された塑性的仕事量  $W$  と  $\Delta S$  との関係は、拘束圧の大きさにかかわりなく1本の曲線で表わし得ることを示した。<sup>2), 4)</sup> それと同様なことは、本実験試料についても確かめられた(図-3)。この曲線上にあける、供試体破壊時に相当する点の勾配 ( $dS/dW$ )<sub>f</sub> と、それ

表-1 実験試料の性質

試料	土粒子比重	最大粒径(mm)	50%粒径(mm)	均等係数	最大間隙比	最小間隙比
石英砂A	2.64	0.59	0.28	3	1.40	0.60
" B	"	"	0.24	8	1.22	0.49
" C	"	"	0.19	1.5	1.13	0.43
長石砂A	2.57	0.59	0.29	3	1.41	0.61
" B	"	"	0.23	11	1.23	0.50
" C	"	"	0.19	16	1.13	0.44

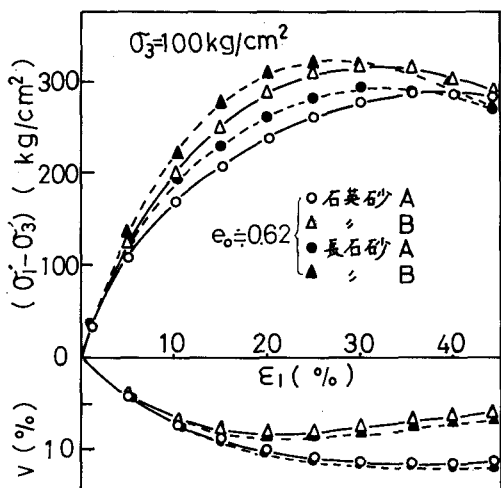


図-1 乾燥砂の応力-ひずみ曲線

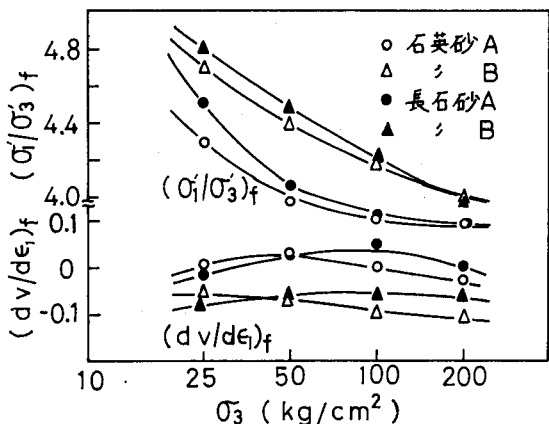


図-2  $\sigma_3$  と  $(dV/d\epsilon_1)_i$ ,  $(\sigma'_1/\sigma'_3)_i$  との関係

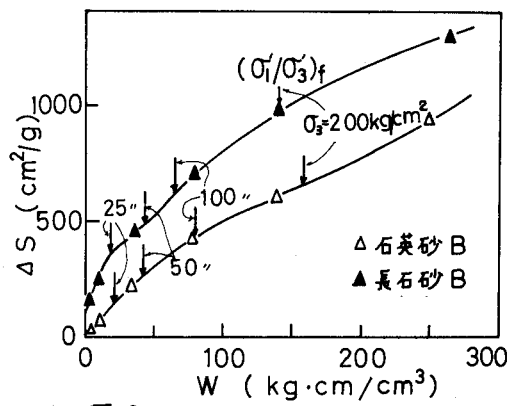


図-3  $\Delta S$  ~  $W$  関係曲線

に対応するダイレイタシーレイト  $(dV/d\epsilon_1)_i$  との間には、図-4に見られるようにほぼ直線的な関係が見出された。豊浦砂およびシラスについて 先に調べた  $(dS/dW)_i$  ~  $(dV/d\epsilon_1)_i$  関係はアビン形であり、図-4のそれとはやや異なるものであった。<sup>4)</sup> そのいすれであるにしろ  $(dS/dW)_i$  はせん断応力下における試料の粒子破碎特性を表わすのに適切な量であると思われ、それは、ダイレイタシーリー特性と密接な関係を有していると考えられる。

均等係数  $U_C$  の小さい石英砂Aおよび長石砂Aの  $(dS/dW)_i$  ~  $(dV/d\epsilon_1)_i$  関係曲線は、ほぼ同じ大きさの勾配を持っていて、それらは石英砂Bおよび長石砂Bの同曲線勾配よりかなり大きい。このことから、図-4の石英砂Bの直線勾配が長石砂Bのそれより大きいのは、前者の  $U_C (= 8)$  が後者の  $U_C (= 11)$  より小さいことと関係があるよう思われる。

#### 4. セン断特性に及ぼす初期粒度の影響

2つの砂のセン断特性に及ぼす初期粒度の影響を検討するために、 $(\sigma'_1/\sigma'_3)_i$  および  $(dV/d\epsilon_1)_i$  と均等係数  $U_C$  との関係を調べたところ図-5のような結果が得られた。これから、 $U_C$  の大きい試料ほどせん断中の粒子破碎量は少なく、したがって破壊時のダイレイタシーエフエクトは大きく、その結果  $U_C$  の小さい試料より高いせん断強度を示すと解釈できよう。

以上に述べたように、高拘束圧下でせん断される粒状材料は、粒子破碎に原因するダイレイタシーエフエクトの減少によってそのせん断強度を低下する、といえるであろう。しかし、図-2および図-5に見られる石英砂と長石砂の強度差を説明するには、ダイレイタシーエフエクトのみならず、両試料の粒子間摩擦角  $\phi_m$  の違いを考慮に入れるなければならぬと思われる。

文献 1)三浦・山本・東島：第25回土木学会中国四国支部研究発表会，昭50.5 2)三浦・山内：九大工学集報 Vol.1, 48, No.2, 1975 3) Rowe: ASCE, Vol. 90, SM 4, 1964 4)三浦・山内：九大工学集報，投稿中。

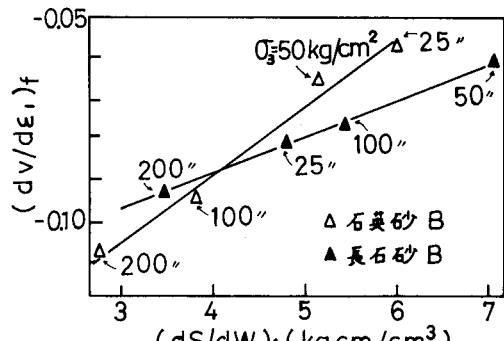


図-4  $(dV/d\epsilon_1)_i$  ~  $(dS/dW)_i$  関係

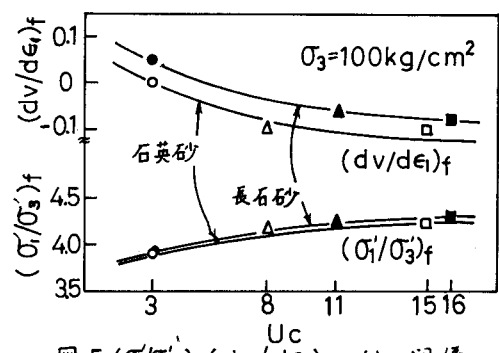


図-5  $(\sigma'_1/\sigma'_3)_i$ ,  $(dV/d\epsilon_1)_i$  ~  $U_C$  関係